

Politechnika Warszawska

WYDZIAŁ ELEKTRONIKI
I TECHNIK INFORMACYJNYCH



przedmiot
Kryptografia stosowana (KRY5)



Szyfr blokowy z kluczem symetrycznym - Camellia

Kamil Chrościcki, Filip Smejda, Jakub Kitka, Andrzej
Gawor

Numer albumu 300502, 300503, 300552, 300528

prowadzący
dr inż. Adam Komorowski

WARSZAWA 23 stycznia 2023

Spis treści

1. Wstęp	3
1.1. Camellia	3
1.2. Camellia vs AES	4
2. Specyfikacja kryptosystemu	5
2.1. Wstęp	5
2.2. Terminologia	5
2.3. Faza Planowania Kluczy	5
2.3.1. Derywacja zmiennych KL i KR	5
2.3.2. Wygenerowanie zmiennych KA i KB	5
2.3.3. Wygenerowanie właściwych pod-kluczy	6
2.4. Szyfrowanie i deszyfrowanie	7
2.4.1. Szyfrowanie	7
2.4.2. Deszyfrowanie	7
2.5. Funkcje algorytmu	8
2.5.1. Funkcja-F	8
2.5.2. Funkcja-S	10
2.5.3. Funkcja-P	10
2.5.4. Funkcja-FL	11
2.5.5. Funkcja-FL ⁻¹	11
3. Bezpieczeństwo algorytmu	12
3.1. Technika mieszania oraz rozproszenia	12
3.2. Właściwości algebraiczne	12
4. Kryptoanaliza i ataki	14
5. Podsumowanie	16
Bibliografia	17

1. Wstęp

Szyfrowanie symetryczne jest podstawą współczesnej kryptografii. Są to algorytmy, które wykorzystują ten sam klucz zarówno do szyfrowania, jak i odszyfrowywania danych. Celem jest wykorzystanie krótkich tajnych kluczy do bezpiecznego i efektywnego przesyłania długich wiadomości. W dobie Internetu niezwykle ważna jest poufność i integralność danych. Transfer takich informacji musi być nie tylko odpowiednio szybki, ale przede wszystkim prawidłowo zabezpieczony przed niepożądanym dostępem. Szyfrowanie symetryczne jest w stanie to zapewnić i dzięki swojej charakterystyce jest powszechnie wykorzystywane w różnych rozwiązaniach. Przykłady, gdzie kryptografia symetryczna może zostać wykorzystana:

- Sektor bankowy: aplikacje płatnicze, walidacje potwierdzające nadawcę.
- Szyfrowanie wrażliwych danych na dysku pamięci (np. BitLocker).

Mnogość zastosowań szyfrowania symetrycznego sprawia, iż bezpieczeństwo użytkowników w sieci zależy w dużej mierze od wykorzystywanych algorytmów kryptograficznych. Szyfrowanie z kluczem symetrycznym można podzielić na dwa rodzaje:

- blokowy - tekst jawny jest dzielony na bloki o stałej długości i przechodzi przez funkcję szyfrującą wraz z sekretnym kluczem.
- strumieniowy - pojedynczy bajt tekstu jawnego jest szyfrowany poprzez operację XOR pseudolosowego strumienia klucza z danymi.

W naszej pracy skupimy się i szerzej omówimy szyfr blokowy z kluczem symetrycznym - Camellia.

1.1. Camellia

Camellia została opracowana wspólnie przez Nippon Telegraph[1] and Telephone Corporation i Mitsubishi Electric Corporation w 2000 roku.[2] Camellia określa 128-bitowy rozmiar bloku oraz 128-, 192- i 256-bitowy rozmiar klucza. Charakteryzuje się przydatnością zarówno do implementacji programowych, jak i sprzętowych, a także wysokim poziomem bezpieczeństwa. Z praktycznego punktu widzenia została zaprojektowana tak, aby umożliwić elastyczność w implementacjach programowych i sprzętowych na procesorach 32-bitowych szeroko stosowanych w Internecie i wielu aplikacjach, procesorach 8-bitowych stosowanych w kartach inteligentnych, sprzęcie kryptograficznym, czy w systemach wbudowanych. Jest zatwierdzona jako skuteczny i bezpieczny algorytm szyfrujący przez wiele organizacji na całym świecie m.in. Międzynarodową Organizację Normalizacyjną (ang. *International Organization for Standardization* - ISO), projekt badawczy UE NESSIE oraz japoński CRYPTREC.[3]

1.2. Camellia vs AES

W kryptografii występują różne implementacje blokowych algorytmów szyfrujących z kluczem symetrycznym. Najpopularniejszym i najczęściej stosowanym jest Advanced Encryption Standard (AES). Camellia jest uważana za mniej więcej równoważną AES pod względem bezpieczeństwa. Porównując oba rozwiązania można spostrzec pewne podobieństwa i różnice każdego z nich:

- Należą do grupy szyfrowania symetrycznego w trybie blokowym.
- Określają 128-bitowy rozmiar bloku i 128-, 192- i 256-bitowe rozmiary kluczy.
- Tylko AES jest standardem rządowym w USA. Zarówno NESSIE (UE) jak i CRYPTREC (Japonia) nadały AES i Camellia równy status [4].
- AES został sprawdzony przez kryptoanalitików w szerszym zakresie niż Camellia.
- AES działa na strukturze sieci SP, a Camellia na sieci Feistela.
- AES wypada wydajnościowo nieco lepiej porównując czas wymagany przez te algorytmy w funkcji długości tekstu jawnego.
- Camellia zapewnia doskonały czas konfiguracji klucza, a jego zwinność jest lepsza niż w przypadku AES [2].
- Camellia posiada poziomy bezpieczeństwa porównywalne z szyfrem AES/Rijndael.

2. Specyfikacja kryptosystemu

2.1. Wstęp

Camelia oparta jest na strukturze sieci Feistela. W wersji ze 128-bitowym kluczem, algorytm podzielony jest na 3 bloki po 6 rund Feistel'a. W wersjach z 192 i 256-bitowym kluczem występuje dodatkowy blok. Między blokami wywoływane są funkcje FL oraz FL^{-1} . Przed pierwszym oraz za ostatnim blokiem stosowana jest technika "Wybielania Klucza". Całość poprzedza "Faza Planowania Kluczy". Opis algorytmu może zostać podzielony na 3 części:

- Faza Planowania Kluczy,
- Szyfrowanie i deszyfrowanie,
- Funkcje algorytmu.

2.2. Terminologia

Użyte oznaczenia:

X - dowolny wektor bitowy

$X_{L(n)}$ - wektor powstały jako n bitów wektora X znajdujących się najbardziej po lewej stronie np. $0011_{L(2)} = 00$

$X_{R(n)}$ - wektor powstały jako n bitów wektora X znajdujących się najbardziej po prawej stronie np. $0011_{R(2)} = 11$

$\neg x$ - negacja wektora x

\parallel - operator konkatencji

$x \ll n$ - cykliczna rotacja wektora x w lewą stronę o n bitów

\vee - operator logiczny OR

\wedge - operator logiczny AND

K - klucz główny

2.3. Faza Planowania Kluczy

2.3.1. Derywacja zmiennych KL i KR

Na początku definiowane są 128-bitowe dwie zmienne KL oraz KR w następujący sposób, w zależności od długości klucza głównego:

- 128: $KL = K$, KR nie istnieje
- 192: $KL = K_{L(128)}$, $KR = K_{R(64)} \parallel \neg K_{R(64)}$
- 256: $KL = K_{L(128)}$, $KR = K_{R(128)}$

2.3.2. Wygenerowanie zmiennych KA i KB

Następnym krokiem jest wygenerowanie 128-bitowych zmiennych KA oraz KB (ta zmienna występuje jedynie w wersji z 192/256-bitowym kluczem głównym). Owa genera-

cja opiera się na trzech blokach po dwie rundy szyfru Feistel'a. Jako klucze do funkcji F podawane są stałe zdefiniowane na rysunku 2.1. Schemat blokowy kroku znajduje się na rysunku 2.2. W postaci równań może zostać zapisany jak pokazano na listingu. D1 i D2 są tymczasowymi zmiennymi pomocniczymi.

// sekcja fioletowa

$$D1 = (KL \oplus KR)_{L(64)}$$

$$D1 = (KL \oplus KR)_{R(64)}$$

$$D2 = D2 \oplus F(D1, \text{Sigma1})$$

$$D1 = D1 \oplus F(D2, \text{Sigma2})$$

//sekcjaniebieska

$$D1 = D1 \oplus KL_{L(64)}$$

$$D2 = D2 \oplus KL_{R(64)}$$

$$D2 = D2 \oplus F(D1, \text{Sigma3})$$

$$D1 = D1 \oplus F(D2, \text{Sigma4})$$

$$KA = D1 || D2$$

//sekcjajółta

$$D1 = KA \oplus KR_{L(64)}$$

$$D2 = KA \oplus KR_{R(64)}$$

$$D2 = D2 \oplus F(D1, \text{Sigma5})$$

$$D1 = D1 \oplus F(D2, \text{Sigma6})$$

$$KB = D1 || D2$$

```
Sigma1 = 0xA09E667F3BCC908B;  
Sigma2 = 0xB67AE8584CAA73B2;  
Sigma3 = 0xC6EF372FE94F82BE;  
Sigma4 = 0x54FF53A5F1D36F1C;  
Sigma5 = 0x10E527FADE682D1D;  
Sigma6 = 0xB05688C2B3E6C1FD;
```

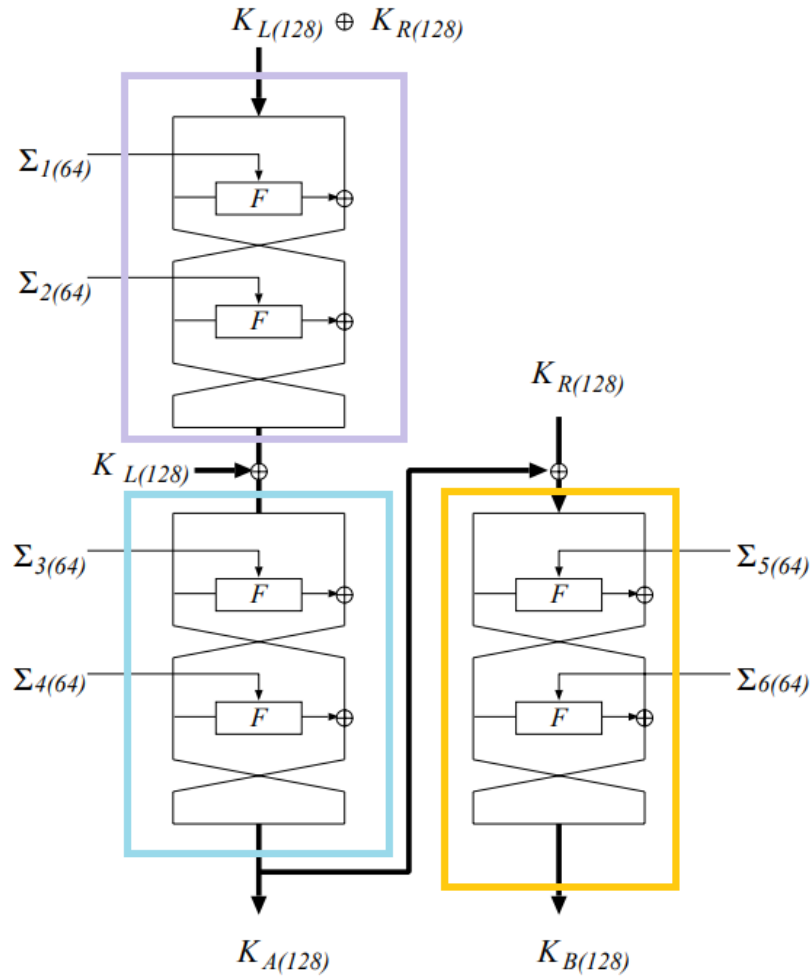
Rysunek 2.1. Stałe Sigma

2.3.3. Wygenerowanie właściwych pod-kluczy

Wszystkie utworzone wcześniej zmienne (KL, KR, KA, KB) są 128-bitowe. Wygenerowanie pod-kluczy polega na ich rotacji oraz braniu lewej lub prawej 64-bitowej połowy.

- 2 klucze do pre-whitening,
- po 6 kluczy wejściowych do funkcji F dla każdego 6-cio rundowego bloku szyfru Feistel'a,
- po 2 klucze wejściowe do funkcji FL oraz FL^{-1} między każdym blokiem,
- 2 klucze do post-whitening.

Rysunek 2.3 prezentuje cel, nazwę oraz sposób generacji pod-kluczy.



Rysunek 2.2. Schemat blokowy generacji zmiennych K_A i K_B

2.4. Szyfrowanie i deszyfrowanie

2.4.1. Szyfrowanie

Jako wejście do algorytmu pobierany jest 128-bitowy *plaintext*, który jest rozdzielany na dwie 64-bitowe części. Wyjściem algorytmu jest 128-bitowy *ciphertext*. Specyfikacja przedstawiona jest na rysunku 2.4. Funkcje F oraz FL i FL^{-1} znajdujące się na rysunku opisane są w następnej sekcji. Rysunek przedstawia wariant z 128-bitowym kluczem głównym. Wariant z kluczem głównym o długość 192 lub 256-bitów zawiera dodatkowy 6-cio rundowy blok szyfru Feistel'a.

2.4.2. Deszyfrowanie

Procedura deszyfrowania jest taka sama jak szyfrowania, jednakże należy podmienić kolejność używanych kluczy zgodnie z rysunkiem 2.5.

2. Specyfikacja kryptosystemu

Subkeys for 128-bit secret key			Subkeys for 192/256-bit secret key		
	subkey	value		subkey	value
Prewhitening	$kw_{1(64)}$ $kw_{2(64)}$	$(K_L \lll 0)_{L(64)}$ $(K_L \lll 0)_{R(64)}$	Prewhitening	$kw_{1(64)}$ $kw_{2(64)}$	$(K_L \lll 0)_{L(64)}$ $(K_L \lll 0)_{R(64)}$
F (Round1)	$k_{1(64)}$	$(K_A \lll 0)_{L(64)}$	F (Round1)	$k_{1(64)}$	$(K_B \lll 0)_{L(64)}$
F (Round2)	$k_{2(64)}$	$(K_A \lll 0)_{R(64)}$	F (Round2)	$k_{2(64)}$	$(K_B \lll 0)_{R(64)}$
F (Round3)	$k_{3(64)}$	$(K_L \lll 15)_{L(64)}$	F (Round3)	$k_{3(64)}$	$(K_R \lll 15)_{L(64)}$
F (Round4)	$k_{4(64)}$	$(K_L \lll 15)_{R(64)}$	F (Round4)	$k_{4(64)}$	$(K_R \lll 15)_{R(64)}$
F (Round5)	$k_{5(64)}$	$(K_A \lll 15)_{L(64)}$	F (Round5)	$k_{5(64)}$	$(K_A \lll 15)_{L(64)}$
F (Round6)	$k_{6(64)}$	$(K_A \lll 15)_{R(64)}$	F (Round6)	$k_{6(64)}$	$(K_A \lll 15)_{R(64)}$
FL	$kl_{1(64)}$	$(K_A \lll 30)_{L(64)}$	FL	$kl_{1(64)}$	$(K_R \lll 30)_{L(64)}$
FL^{-1}	$kl_{2(64)}$	$(K_A \lll 30)_{R(64)}$	FL^{-1}	$kl_{2(64)}$	$(K_R \lll 30)_{R(64)}$
F (Round7)	$k_{7(64)}$	$(K_L \lll 45)_{L(64)}$	F (Round7)	$k_{7(64)}$	$(K_B \lll 30)_{L(64)}$
F (Round8)	$k_{8(64)}$	$(K_L \lll 45)_{R(64)}$	F (Round8)	$k_{8(64)}$	$(K_B \lll 30)_{R(64)}$
F (Round9)	$k_{9(64)}$	$(K_A \lll 45)_{L(64)}$	F (Round9)	$k_{9(64)}$	$(K_L \lll 45)_{L(64)}$
F (Round10)	$k_{10(64)}$	$(K_L \lll 60)_{R(64)}$	F (Round10)	$k_{10(64)}$	$(K_L \lll 45)_{R(64)}$
F (Round11)	$k_{11(64)}$	$(K_A \lll 60)_{L(64)}$	F (Round11)	$k_{11(64)}$	$(K_A \lll 45)_{L(64)}$
F (Round12)	$k_{12(64)}$	$(K_A \lll 60)_{R(64)}$	F (Round12)	$k_{12(64)}$	$(K_A \lll 45)_{R(64)}$
FL	$kl_{3(64)}$	$(K_L \lll 77)_{L(64)}$	FL	$kl_{3(64)}$	$(K_L \lll 60)_{L(64)}$
FL^{-1}	$kl_{4(64)}$	$(K_L \lll 77)_{R(64)}$	FL^{-1}	$kl_{4(64)}$	$(K_L \lll 60)_{R(64)}$
F (Round13)	$k_{13(64)}$	$(K_L \lll 94)_{L(64)}$	F (Round13)	$k_{13(64)}$	$(K_R \lll 60)_{L(64)}$
F (Round14)	$k_{14(64)}$	$(K_L \lll 94)_{R(64)}$	F (Round14)	$k_{14(64)}$	$(K_R \lll 60)_{R(64)}$
F (Round15)	$k_{15(64)}$	$(K_A \lll 94)_{L(64)}$	F (Round15)	$k_{15(64)}$	$(K_B \lll 60)_{L(64)}$
F (Round16)	$k_{16(64)}$	$(K_A \lll 94)_{R(64)}$	F (Round16)	$k_{16(64)}$	$(K_B \lll 60)_{R(64)}$
F (Round17)	$k_{17(64)}$	$(K_L \lll 111)_{L(64)}$	F (Round17)	$k_{17(64)}$	$(K_L \lll 77)_{L(64)}$
F (Round18)	$k_{18(64)}$	$(K_L \lll 111)_{R(64)}$	F (Round18)	$k_{18(64)}$	$(K_L \lll 77)_{R(64)}$
Postwhitening	$kw_{3(64)}$ $kw_{4(64)}$	$(K_A \lll 111)_{L(64)}$ $(K_A \lll 111)_{R(64)}$	FL	$kl_{5(64)}$	$(K_A \lll 77)_{L(64)}$
			FL^{-1}	$kl_{6(64)}$	$(K_A \lll 77)_{R(64)}$
			F (Round19)	$k_{19(64)}$	$(K_R \lll 94)_{L(64)}$
			F (Round20)	$k_{20(64)}$	$(K_R \lll 94)_{R(64)}$
			F (Round21)	$k_{21(64)}$	$(K_A \lll 94)_{L(64)}$
			F (Round22)	$k_{22(64)}$	$(K_A \lll 94)_{R(64)}$
			F (Round23)	$k_{23(64)}$	$(K_L \lll 111)_{L(64)}$
			F (Round24)	$k_{24(64)}$	$(K_L \lll 111)_{R(64)}$
			Postwhitening	$kw_{3(64)}$ $kw_{4(64)}$	$(K_B \lll 111)_{L(64)}$ $(K_B \lll 111)_{R(64)}$

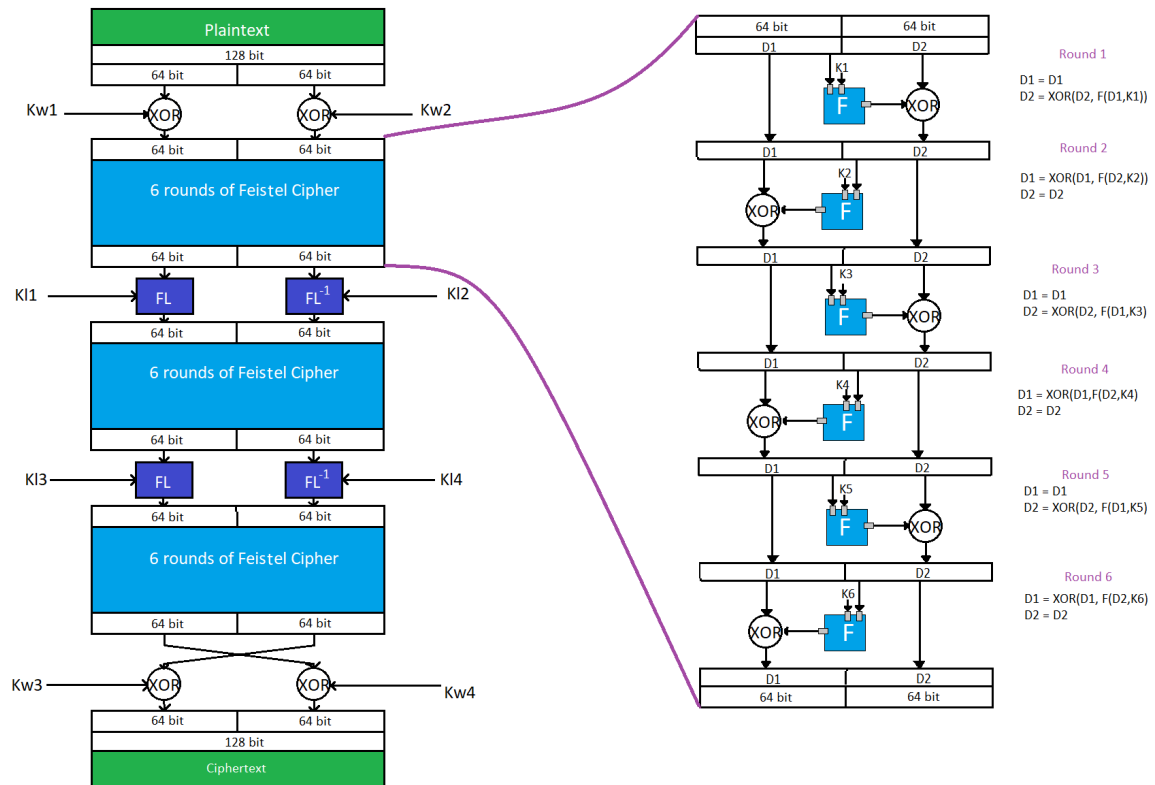
Rysunek 2.3. Generowanie pod-kluczy

2.5. Funkcje algorytmu

2.5.1. Funkcja-F

Funkcja pobiera jako argumenty dwa wektory 64-bitowe, a zwraca jeden wektor 64-bitowy. Najpierw XORuje ona ze sobą wektory wejściowe, a wynikiem tej operacji wywołuje Funkcję-S. Następnie, to co zwróci funkcja S, przekazywane jest jako argument do Funkcji-P. Opis funkcji S oraz P znajduje się w następnych sekcjach.

$$(X, k) \rightarrow Y = P(S(X \oplus k))$$



Rysunek 2.4. Szyfrowanie

128-bit key:

$Kw1 \leftrightarrow Kw3$
 $Kw2 \leftrightarrow Kw4$
 $K1 \leftrightarrow K18$
 $K2 \leftrightarrow K17$
 $K3 \leftrightarrow K16$
 $K4 \leftrightarrow K15$
 $K5 \leftrightarrow K14$
 $K6 \leftrightarrow K13$
 $K7 \leftrightarrow K12$
 $K8 \leftrightarrow K11$
 $K9 \leftrightarrow K10$
 $K11 \leftrightarrow K14$
 $K12 \leftrightarrow K13$

192- or 256-bit key:

$Kw1 \leftrightarrow Kw3$
 $Kw2 \leftrightarrow Kw4$
 $K1 \leftrightarrow K24$
 $K2 \leftrightarrow K23$
 $K3 \leftrightarrow K22$
 $K4 \leftrightarrow K21$
 $K5 \leftrightarrow K20$
 $K6 \leftrightarrow K19$
 $K7 \leftrightarrow K18$
 $K8 \leftrightarrow K17$
 $K9 \leftrightarrow K16$
 $K10 \leftrightarrow K15$
 $K11 \leftrightarrow K14$
 $K12 \leftrightarrow K13$
 $K13 \leftrightarrow K16$
 $K14 \leftrightarrow K15$
 $K15 \leftrightarrow K14$

Rysunek 2.5. Odwrócenie pod-kluczy

2. Specyfikacja kryptosystemu

2.5.2. Funkcja-S

Funkcja pobiera jako argument 64-bitowy wektor, i zwraca również 64-bitowy wektor. Swój argument dzieli na 8 części, które procesuje niezależnie zamieniając je odpowiednio bazując na S-box'ach (tabelach zamian).

$$x1||x2||x3||x4||x5||x6||x7||x8 \rightarrow y1||y2||y3||y4||y5||y6||y7||y8$$

S-box'y mapują wejściowe 8 bitów na inny zestaw 8-śmiu bitów. Camellia definiuje 4 S-boxy, zaprezentowane w na rysunku 2.6 .

S1	S2
This table below reads $s_1(0) = 112, s_1(1) = 130, \dots, s_1(255) = 158$.	
112 130 44 236 179 39 192 229 228 133 87 53 234 12 174 65 35 239 107 147 69 25 165 33 237 14 79 78 29 101 146 189 134 184 175 143 124 235 31 206 62 48 220 95 94 197 11 26 166 225 57 202 213 71 93 61 217 1 90 214 81 86 108 77 139 13 154 102 251 204 176 45 116 18 43 32 240 177 132 153 223 76 203 194 52 126 118 5 109 183 169 49 209 23 4 215 20 88 58 97 222 27 17 28 50 15 156 22 83 24 242 34 254 68 207 178 195 181 122 145 36 8 232 168 96 252 105 80 170 208 160 125 161 137 98 151 84 91 30 149 224 255 100 210 16 196 0 72 163 247 117 219 138 3 230 218 9 63 221 148 135 92 131 2 205 74 144 51 115 103 246 243 157 127 191 226 82 155 216 38 200 55 198 59 129 150 111 75 19 190 99 46 233 121 167 140 159 110 188 142 41 245 249 182 47 253 180 89 120 152 6 106 231 70 113 186 212 37 171 66 136 162 141 250 114 7 185 85 248 238 172 10 54 73 42 104 60 56 241 164 64 40 211 123 187 201 67 193 21 227 173 244 119 199 128 158	224 5 88 217 103 78 129 203 201 11 174 106 213 24 93 130 70 223 214 39 138 50 75 66 219 28 158 156 58 202 37 123 13 113 95 31 248 215 62 157 124 96 185 190 188 139 22 52 77 195 114 149 171 142 186 122 179 2 180 173 162 172 216 154 23 26 53 204 247 153 97 90 232 36 86 64 225 99 9 51 191 152 151 133 104 252 236 10 218 111 83 98 163 46 8 175 40 176 116 194 189 54 34 56 100 30 57 44 166 48 229 68 253 136 159 101 135 107 244 35 72 16 209 81 192 249 210 160 85 161 65 250 67 19 196 47 168 182 60 43 193 255 200 165 32 137 0 144 71 239 234 183 21 6 205 181 18 126 187 41 15 184 7 4 155 148 33 102 230 206 237 231 59 254 127 197 164 55 177 76 145 110 141 118 3 45 222 150 38 125 198 92 211 242 79 25 63 220 121 29 82 235 243 109 94 251 105 178 240 49 12 212 207 140 226 117 169 74 87 132 17 69 27 245 228 14 115 170 241 221 89 20 108 146 84 208 120 112 227 73 128 80 167 246 119 147 134 131 42 199 91 233 238 143 1 61
S3	S4
56 65 22 118 217 147 96 242 114 194 171 154 117 6 87 160 145 247 181 201 162 140 210 144 246 7 167 39 142 178 73 222 67 92 215 199 62 246 143 103 31 24 110 175 47 226 133 13 83 240 156 101 234 163 174 158 236 128 45 107 168 43 54 166 197 134 77 51 253 102 88 150 58 9 149 16 120 216 66 204 239 38 229 97 26 63 59 130 182 219 212 152 232 139 2 235 10 44 29 176 111 141 136 14 25 135 78 11 169 12 121 17 127 34 231 89 225 218 61 200 18 4 116 84 48 126 180 40 85 104 80 190 208 196 49 203 42 173 15 202 112 255 50 105 8 98 0 36 209 251 186 237 69 129 115 109 132 159 238 74 195 46 193 1 230 37 72 153 185 179 123 249 206 191 223 113 41 205 108 19 100 155 99 157 192 75 183 165 137 95 177 23 244 188 211 70 207 55 94 71 148 250 252 91 151 254 90 172 60 76 3 53 243 35 184 93 106 146 213 33 68 81 198 125 57 131 220 170 124 119 86 5 27 164 21 52 30 28 248 82 32 20 233 189 221 228 161 224 138 241 214 122 187 227 64 79	112 44 179 192 228 87 234 174 35 107 69 165 237 79 29 146 134 175 124 31 62 220 94 11 166 57 213 93 217 90 81 108 139 154 251 176 116 43 240 132 223 203 52 118 109 169 209 4 20 58 222 17 50 156 83 242 254 207 195 122 36 232 96 105 170 160 161 98 84 30 224 100 16 0 163 117 138 230 9 221 135 131 205 144 115 246 157 191 82 216 200 198 129 111 19 99 233 167 159 188 41 249 47 180 120 6 231 113 212 171 136 141 114 185 248 172 54 42 60 241 64 211 187 67 21 173 119 128 130 236 39 229 133 53 12 65 239 147 25 33 14 78 101 189 184 143 235 206 48 95 197 26 225 202 71 61 1 214 86 77 13 102 204 45 18 32 177 153 76 194 126 5 183 49 23 215 88 97 27 28 15 22 24 34 68 178 181 145 8 168 252 80 208 125 137 151 91 149 255 210 196 72 247 219 3 218 63 148 92 2 74 51 103 243 127 226 155 38 55 59 150 75 190 46 121 140 110 142 245 182 253 89 152 106 70 186 37 66 162 250 7 85 238 10 73 104 56 164 40 123 201 193 227 244 199 158

Rysunek 2.6. S-box'y

Wartość yi wektora wyjściowego tworzone są w następujący sposób:

$$y1 = s1(x1)$$

$$y2 = s2(x2)$$

$$y3 = s3(x3)$$

$$y4 = s4(x4)$$

$$y5 = s2(x5)$$

$$y6 = s3(x6)$$

$$y7 = s4(x7)$$

$$y8 = s1(x8)$$

2.5.3. Funkcja-P

Funkcja pobiera jako argument 64-bitowy wektor, i zwraca również 64-bitowy wektor. Swój argument dzieli na 8 części, które procesuje niezależnie.

$$x1||x2||x3||x4||x5||x6||x7||x8 \rightarrow y1||y2||y3||y4||y5||y6||y7||y8$$

Wektor wyjściowy powstaje w następujący sposób:

$$y1 = x1 \oplus x3 \oplus x4 \oplus x6 \oplus x7 \oplus x8$$

$$y2 = x1 \oplus x2 \oplus x4 \oplus x5 \oplus x7 \oplus x8$$

$$y3 = x1 \oplus x2 \oplus x3 \oplus x5 \oplus x6 \oplus x8$$

$$y4 = x2 \oplus x3 \oplus x4 \oplus x5 \oplus x6 \oplus x7$$

$$y5 = x1 \oplus x2 \oplus x6 \oplus x7 \oplus x8$$

$$y6 = x2 \oplus x3 \oplus x5 \oplus x7 \oplus x8$$

$$y7 = x3 \oplus x4 \oplus x5 \oplus x6 \oplus x8$$

$$y8 = x1 \oplus x4 \oplus x5 \oplus x6 \oplus x7$$

2.5.4. Funkcja-FL

Funkcja pobiera jako argument dwa 64-bitowe wektory i zwraca jeden 64-bitowy wektor.

$$(X_{L(32)} \parallel X_{R(32)}, K_{L(32)} \parallel K_{R(32)}) \rightarrow Y_{L(32)} \parallel Y_{R(32)}$$

Wektor wyjściowy powstaje w następujący sposób:

$$Y_{R(32)} = ((X_{L(32)} \wedge K_{L(32)}) << 1) \oplus X_{R(32)},$$

$$Y_{L(32)} = (Y_{R(32)} \vee K_{R(32)}) \oplus X_{L(32)}$$

2.5.5. Funkcja-FL⁻¹

Funkcja pobiera jako argument dwa 64-bitowe wektory, i zwraca jeden 64-bitowy wektor.

$$(Y_{L(32)} \parallel Y_{R(32)}, K_{L(32)} \parallel K_{R(32)}) \rightarrow X_{L(32)} \parallel X_{R(32)}$$

Wektor wyjściowy powstaje w następujący sposób:

$$X_{L(32)} = (Y_{R(32)} \vee K_{R(32)}) \oplus Y_{L(32)},$$

$$X_{R(32)} = ((X_{L(32)} \wedge K_{L(32)}) << 1) \oplus Y_{R(32)}$$

3. Bezpieczeństwo algorytmu

Camellia, oprócz wysokiego poziomu kompatybilności oraz elastyczności w przypadku implementacji programowych oraz sprzętowych, charakteryzuje się również z wysokim poziomem bezpieczeństwa. Została zatwierdzona jako skuteczny i bezpieczny algorytm szyfrujący przez takie organizacje jak ISO (ang. *International Organization for Standardization*), projekt badawczy Unii Europejskiej NESSIE oraz japoński projekt CRYPTREC. Poziom bezpieczeństwa Camelli porównywalny jest do innego, popularnego szyfru z kluczem symetrycznym - AES (ang. *Advanced Encryption Standard*).

3.1. Technika mieszania oraz rozproszenia

W kryptografii, dwoma właściwościami działania bezpiecznego szyfru są: technika mieszania (ang. *confusion*) oraz rozproszenia (ang. *diffusion*). W przypadku szyfrów blokowych, takich jak Camellia, zaimplementowane są obie te techniki, zapewniając:

- Mieszanie - zmniejsza związek między szyfrogramem a kluczem, poprzez to, że każdy bit szyfrogramu, powinien zależeć od kilku części klucza, czyli podkluczy. Właściwość ta utrudnia odnalezienie klucza na podstawie szyfrogramu, poprzez stworzenie wysokiej nieliniowości między nimi. W Camelli mieszanie zapewnia funkcja S, wykorzystywana przez funkcję F, czyli proces zamiany 64-bitowych danych wejściowych na inne 8 bajtów (bazując na tablicach S-box) zwracane do dalszego przetwarzania.
- Rozproszenie - ukrywa statystyczną zależność pomiędzy tekstem jawnym a szyfrogramem, poprzez to, że każdy bit tekstu jawnego, powinien mieć wpływ na szyfrogram. W Camelli rozproszenie zapewnia funkcja P, wykorzystywana przez funkcję F, czyli wykonanie kilku operacji XOR na każdym z 8 bajtów wejściowych z innymi bajtami wyjściowymi, w celu otrzymania danych wyjściowych do dalszego przetwarzania.

Mieszanie pozwala stworzyć nieliniowość, jednak bez dyfuzji, ten sam bajt w tej samej pozycji otrzymywałby te same transformacje w każdej iteracji funkcji F. Pozwoliłoby to na atakowanie każdej pozycji bajtu w macierzy osobno. Tak więc, powinno się naprzemiennie stosować mieszanie (funkcja S) z rozproszeniem (funkcja P), tak aby konwersje zastosowane na jednym bajcie wpływały na wszystkie inne bajty w danym stanie. Wtedy, każde wejście do kolejnego S-box'a staje się funkcją wielu bajtów, co oznacza, że z każdą rundą algebraiczna złożoność systemu wzrasta.

3.2. Właściwości algebraiczne

Jako, że Camellia jest uznawana za bezpieczny szyfr, to nawet używając opcji najmniejszego możliwego klucza (128 bitów), uważa się, że złamanie szyfru poprzez atak siłowy (brute-force) jest niemożliwe przy aktualnej technologii. Szyfr ten może być zdefiniowany przez minimalny system wielomianów wielowymiarowych[5]:

- S-box'y Camelli (podobnie jak AES) mogą być opisane przez układ 23 równań kwadratowych przy użyciu 80 wyrażeń.
- Algorytm generowania podkluczy (key schedule) może być opisany przez 1120 równań zawierających 768 zmiennych przy użyciu 3 328 wyrażeń liniowych i kwadratowych.
- Cały szyfr blokowy może być opisany przez 5104 równania zawierających 2816 zmiennych przy użyciu 14592 wyrażeń liniowych i kwadratowych.
- Liczba wolnych wyrażeń (wyrażenia, które mogą zostać zastąpione wartością z S-box podczas wykonywania funkcji S) wynosi 11696, co daje podobną ilość jak dla AES.

W sumie, algorytm generowania podkluczy (ang. *key schedule*) oraz szyfr blokowy, składają się z 6224 równań zawierających 3584 zmiennych, wykorzystując 17920 wyrażeń liniowych i kwadratowych. Takie właściwości, w przyszłości, mogą umożliwić złamanie Camelli (oraz AES) za pomocą ataku algebraicznego, pod warunkiem, że stanie się on wykonalny. Dodatkowo, wymaga to zwiększenia mocy obliczeniowej komputerów, niezbędnej do rozwiązania niezwykle rozbudowanych problemów matematycznych.

4. Kryptoanaliza i ataki

Fakt, mówiący o tym, że Camelia wykorzystywana jest w dziedzinach bazujących na wysokim bezpieczeństwie oraz korzystających z szeroko pojętego pojęcia kryptografii wskazuje na to, iż w tym przypadku przeprowadzono szereg kryptoanaliz oraz potencjalnych ataków. Źródła powstałe na początku XXI wieku [6] dowodzą, że Camelia nie zawiera żadnych istotnych wad, czy też słabości. Dzięki jego relatywnie prostej oraz konserwatywnej budowie wszelkie przeprowadzone kryptoanalizy nie były dość problematyczne. W wyniku tego zauważono odporność tego szyfru na kryptoanalizę różnicową oraz liniową (ang. *differential and linear cryptanalysis*). Dotychczasowo, tak jak już wspomniano, uzyskano wiele wyników pochodzących z przeróżnych kryptoanaliz dla zredukowanej liczby rund Camelli rozróżniając wielostronne podejścia:

- differential and linear cryptanalysis,
- truncated differential cryptanalysis,
- integral attack,
- meet-in-the-middle attack,
- collision attack,
- impossible differential cryptanalysis,
- zero-correlation linear cryptanalysis.

Większość przeprowadzonych ataków przed 2011 r. wykluczała warstwy FL/FL-1 oraz "whitening" w celu ułatwienia kryptoanalizy ("As a matter of fact, most attacks presented before 2011 excluded the FL/FL1 and whitening layers to ease the cryptanalysis, whereas recent attacks aimed at reduced-round Camellia with FL/FL1 and/or whitening layers" [7]). Jednakże z czasem zaczęto poznawać interesujące właściwości tego szyfru w dużym stopniu związane z pomijanymi dotychczasowo warstwami. I w ten sposób wprowadzono w przypadku jednej z kryptoanaliz 7-rundowy "impossible differential of Camellia" zawierający warstwy FL/FL-1, dzięki czemu przedstawili ulepszone ataki na 10-rundową Camellie-128, 10-rundową Camellie-192 oraz 11-rundową Camellie-256 [8]. Kolejnym przykładem ataku wykorzystującego podane warstwy było skonstruowanie 7 i 8-rundowych "impossible differentials of Camellia" z warstwami FL/FL-1, a następnie zaatakowanie 11-rundowej Camellie-128, 12-rundową Camellie-192 oraz 13-rundową Camellie-256 [9]. Przełomowym podejściem było wykorzystywanie zerokorelacyjnych liniowych "distinguisherów" z FL/FL-1 oraz techniki opartej na szybkiej transformacji Fouriera (ang. *Fast Fourier Transform*) - FFT. Atak liniowy z zerową korelacją jest jedną z ostatnich metod kryptoanalizy wprowadzonych przez Bogdanowa oraz Rijmęna [10]. Atak ten jest oparty na liniowych przybliżeniach z zerową korelacją, co w znaczny sposób różni go od klasycznej liniowej kryptoanalizy, w przypadku której wykorzystywane są charakterystyki o wysokich korelacjach. Samą ideę ataku liniowego o zerowej korelacji można uznać za projekcję niemożliwej kryptoanalizy różnicowej na kryptoanalizę liniową. Do skonstruowania li-

niowego "distinguisher" charakteryzującego się zerową korelacją przyjmuje się technikę miss-in-the-middle co jest wykorzystywane w przypadku "impossible differential cryptanalysis", Poprzez wykorzystanie zaprezentowanej powyżej techniki zauważono, iż istnieją pewne interesujące właściwości funkcji FL/FL-1 w przypadku szyfru Camellia. Mianowicie, wówczas wprowadzone zostają tzw. słabe klucze *weakkeys*, dzięki którym zaprezentowano pierwszy 8-rundowy zero-korelacyjny liniowy "distinguisher" dla Camelli z warstwami FL/FL-1. Otrzymane wyniki pokazują, że rozważane warstwy FL/FL-1 zawarte w analizowanym szyfrze nie są w stanie skutecznie oprzeć się liniowej kryptoanalizie z zerową korelacją w przypadku niektórych słabych kluczy, gdyż obecnie najlepszy liniowy "distinguisher" z zerową korelacją również charakteryzuje się 8-rundami[7].

Table 1 Summary of the attacks on Camellia with FL/FL^{-1} and whitening layers

Key size	Cryptanalysis	Rounds	Data	Time (EN)	Memory, bytes
192	impossible differential	10	2^{121} CP	$2^{175.3}$	$2^{155.2}$
	impossible differential	10	$2^{118.7}$ CP	$2^{130.4}$	2^{135}
	impossible differential	11 ^a	$2^{112.64}$ CP	$2^{146.54}$	$2^{141.64}$
	impossible differential	11	$2^{114.64}$ CP	2^{184}	$2^{141.64}$
	impossible differential	12	2^{123} CP	$2^{187.2}$	2^{160}
	multidimensional zero-correlation	12	$2^{125.7}$ KP	$2^{188.8}$	$2^{112.0}$
	zero-correlation	13 ^b	2^{128} KP	$2^{169.83}$	$2^{156.86}$
256	higher-order differential	11	2^{93} CP	$2^{255.6}$	2^{98}
	impossible differential	11	2^{121} CP	$2^{206.8}$	2^{166}
	impossible differential	11	$2^{119.6}$ CP	$2^{194.5}$	2^{135}
	impossible differential	12 ^a	$2^{121.12}$ CP	$2^{202.55}$	$2^{142.12}$
	impossible differential	12	$2^{116.17}$ CP	2^{240}	$2^{150.17}$
	impossible differential	13	2^{123} CP	$2^{251.1}$	2^{208}
	zero-correlation	14 ^b	2^{128} KP	$2^{233.72}$	$2^{156.86}$

CP: chosen plaintext; KP: known plaintext; and EN: encryptions

^aWeak keys under 2 bit conditions

^bWeak keys under 15 bit conditions

Rysunek 4.1. Summary of the attacks on Camellia with FL/FL-1 and whitening layers

Pomimo potencjalnych "luk" skala prawdopodobieństwa skutecznego ataku jest mała, a wręcz niewspółmierna względem oferowanego bezpieczeństwa przez szyfr Camellia, w wyniku czego uważa się, iż faktyczne ataki na Camellię nie są praktycznie możliwe. Wymagałoby to przełomu w dziedzinie kryptoanaliz systemów szyfrujących. Jednakże nie jest to finalny, końcowy oraz niepodważalny wniosek. Uważa się, że sprecyzowana oraz odpowiednio długa kryptoanaliza może ujawnić właściwości, które dotychczasowo nie zostały wykryte.

5. Podsumowanie

Zwiększenie liczby połączeń w sieci powoduje rosnącą konieczność zabezpieczenia danych przed niepowołanym dostępem. Zapewnienie wysokiego poziomu bezpieczeństwa przy optymalnym czasie operacji osiągnąć są dzięki korzystaniu z szyfrowania symetrycznego w trybie blokowym, które jest jednym z fundamentalnych segmentów kryptografii.

Omówiony przez nas krypto-system Camellia, mimo iż został opracowany ponad dwadzieścia lat temu, to jest uważany za nowoczesny i bezpieczny szyfr w pełni przystosowany do współczesnych wymagań. Jako szyfr blokowy o 128-bitowym rozmiarze bloku i trzech możliwych rozmiarach klucza (128, 192, 256 bit) sprawdza się odpowiednio dla różnych zastosowań. Nawet przy użyciu opcji najmniejszego rozmiaru klucza, uważa się, że złamanie go poprzez atak brute-force na klucze przy użyciu obecnej technologii jest niewykonalne.

W tej pracy udało nam się omówić początki i powody powstania systemu Camellia. Przeanalizowany został sposób implementacji i specyfikacja algorytmu. Porównaliśmy wydajność i tryb pracy Camellii do najpopularniejszego systemu jakim jest AES. Na podstawie dostępnej dokumentacji i artykułów naukowych zbadaliśmy bezpieczeństwo algorytmu. Przeprowadzona została także kryptoanaliza wraz z odnotowaniem ataków jakie były przeprowadzone na ten krypto-system. Uważamy, że opisany przez nas algorytm Camellia jest równie dobrym wyborem jak rozpowszechniony i popularny AES. W szczególnych przypadkach może być niezastąpiony, a brak znacznej rozpoznawalności i zrozumienia systemu, może być dodatkowym atutem pod względem bezpieczeństwa.

We współczesnej technologii szyfrowanie symetryczne wciąż pełni niezwykle ważną rolę. Wraz z szyfrowaniem asymetrycznym zapewnia bezpieczeństwo i poufność podczas komunikacji użytkownika w sieci. Szczególnie ważne jest zwrócenie uwagi na tryb blokowy szyfrowania symetrycznego, który jest aktualnie powszechnie stosowany. Dzięki swojej wydajności i optymalizacji zapewnia użytkownikowi możliwość swobodnej i wydajnej wymiany danych. Camellia jest skutecznym i sprawdzonym rozwiązaniem, które w szczególnych przypadkach może stanowić ciekawą alternatywę dla bardziej rozpowszechnionych systemów.

Bibliografia

- [1] *NTT Social Informatics Laboratories Information Security Technology Research Project*, Dostęp zdalny (18.12.2022): <https://info.isl.ntt.co.jp/crypt/eng/camellia/technology/reference.html>.
- [2] M. Matsui, S. Moriai i J. Nakajima, *A Description of the Camellia Encryption Algorithm*, RFC 3713, kw. 2004. DOI: 10.17487/RFC3713. adr.: <https://www.rfc-editor.org/info/rfc3713>.
- [3] *Camellia - SZYFR BLOKOWY Z KLUCZEM SYMETRYCZNYM*, Dostęp zdalny (18.12.2022): <http://www.crypto-it.net/pl/symetryczne/camellia.html>.
- [4] ., S. Moriai i M. Kanda, *Addition of Camellia Cipher Suites to Transport Layer Security (TLS)*, RFC 4132, lip. 2005. DOI: 10.17487/RFC4132. adr.: <https://www.rfc-editor.org/info/rfc4132>.
- [5] Wikipedia, *Camellia (cipher)* — *Wikipedia, The Free Encyclopedia*, [http://en.wikipedia.org/w/index.php?title=Camellia%20\(cipher\)&oldid=1117477882](http://en.wikipedia.org/w/index.php?title=Camellia%20(cipher)&oldid=1117477882), [Online; accessed 18-December-2022], 2022.
- [6] *Analysis Of Camelia*, Dostęp zdalny (18.12.2022): Załącznik: *AnalaysisOfCamelia.pdf*.
- [7] *Improved zero-correlation linear cryptanalysis of reduced-round Camellia under weak keys. IET Information Security*, Dostęp zdalny (18.12.2022): https://www.researchgate.net/publication/282895646_Improved_zero-correlation_linear_cryptanalysis_of_reduced-round_Camellia_under_weak_keys.
- [8] *New impossible differential cryptanalysis of reduced-round camellia*, Dostęp zdalny (18.12.2022): <https://eprint.iacr.org/2011/017.pdf>.
- [9] *New observations on impossible differential cryptanalysis of reduced-round camellia*, Dostęp zdalny (18.12.2022): <https://www.iacr.org/archive/fse2012/75490090/75490090.pdf>.
- [10] *Linear Hulls with Correlation Zero and Linear Cryptanalysis of Block Ciphers*, Dostęp zdalny (18.12.2022): <https://eprint.iacr.org/2011/123.pdf>.